

CLASE 12

En los problemas de fuerzas centrales teníamos que

$$E = \frac{m \dot{r}^2}{2} + \underbrace{\frac{l^2}{2mr^2}}_{\text{potencial centrífugo}} + \underbrace{U(r)}_{U_{\text{eff}}}$$

siendo  $U(r)$  el potencial de la fuerza central

y  $l$  el módulo del momento angular

$$l = m r^2 \dot{\theta}$$

$$\frac{dr}{dt} = \dot{r} = \sqrt{\frac{2}{m}} \sqrt{E - U_{\text{eff}}}$$

$$\frac{dr}{dt} = \frac{dr}{d\theta} \dot{\theta} = \sqrt{\frac{2}{m}} \sqrt{E - U_{\text{eff}}} \rightarrow \frac{dr}{d\theta} = \sqrt{\frac{2}{m}} \frac{m r^2}{l} \sqrt{E - U_{\text{eff}}}$$

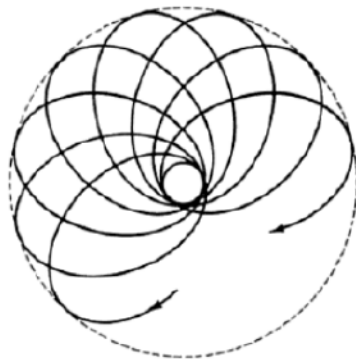
Terminamos la clase pasada con la siguiente expresión

$$\theta - \theta_0 = \int_{\theta_0}^{\theta} d\theta = \pm \frac{l}{\sqrt{2m}} \int_{r(\theta_0)}^{r(\theta)} \frac{dr'}{r'^2 \sqrt{E - U_{\text{eff}}}}$$



## Órbitas en un campo central (Teorema de Bendixson-Dulac)

Cuando el movimiento de una partícula en un potencial  $U(r)$  sea periódico, diremos que la órbita es cerrada. De lo contrario, diremos que la órbita es abierta.



Si la trayectoria no se cierra nunca es una tray. abierta.

Si se cierra, eventualmente, es cerrada.

Fig. 8.4 Libro Marion

Fig. 8.4 Libro Marion

Usando  $\otimes$  podemos calcular  $\Delta\theta$  entre  $r_{\min}$  y  $r_{\max}$

$$\Delta\theta = \frac{l}{\sqrt{2m}} \int_{r_{\min}}^{r_{\max}} \frac{dr'}{r'^2 \sqrt{E - U_{\text{eff}}}} \Rightarrow \text{si } \Delta\theta \text{ es una fracción racional de } 2\pi$$

$\Rightarrow$  la trayectoria es cerrada  
( $\Delta\theta = \frac{p}{q} 2\pi$  con  $p, q \in \mathbb{Z}$ )

Sino la trayectoria es abierta.

Bendixson-Dulac

Si  $U(r) = \alpha r^{n+1}$  da órbitas cerradas (no circulares)

sólo si  $n = -2$  (caso de Kepler o Coulomb)

si  $n = 1$  (caso del oscilador armónico)

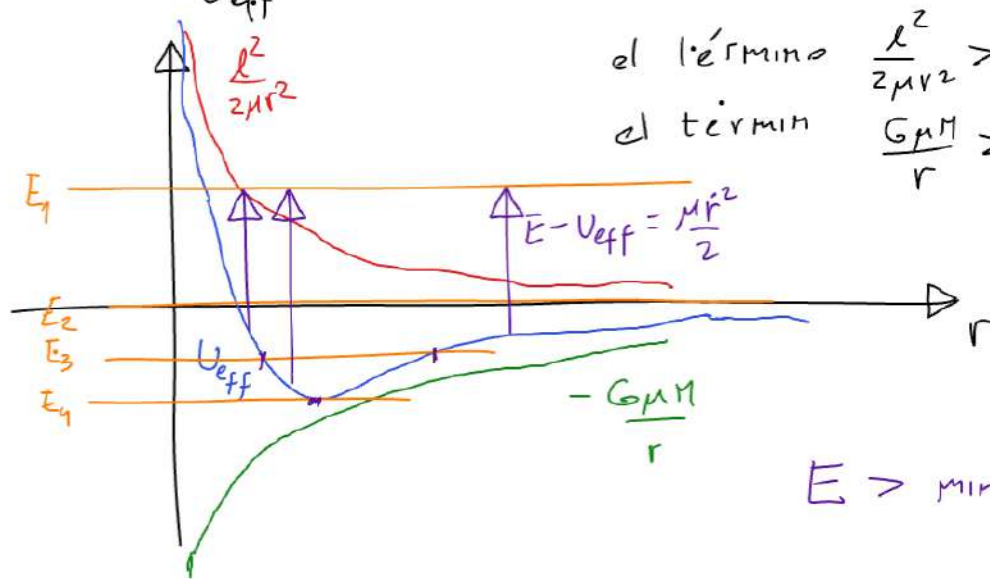
---

En el caso de Kepler  $E$  y  $l$  que son constantes de mov.

En el caso de Kepler  $E$  y  $l$  que son constantes de mov. determinan completamente el movimiento.

$$E = \frac{\mu \dot{r}^2}{2} + \underbrace{\frac{l^2}{2\mu r^2} - \frac{G\mu M}{r}}_{U_{\text{eff}}}$$

grafiquemos  $U_{\text{eff}}$



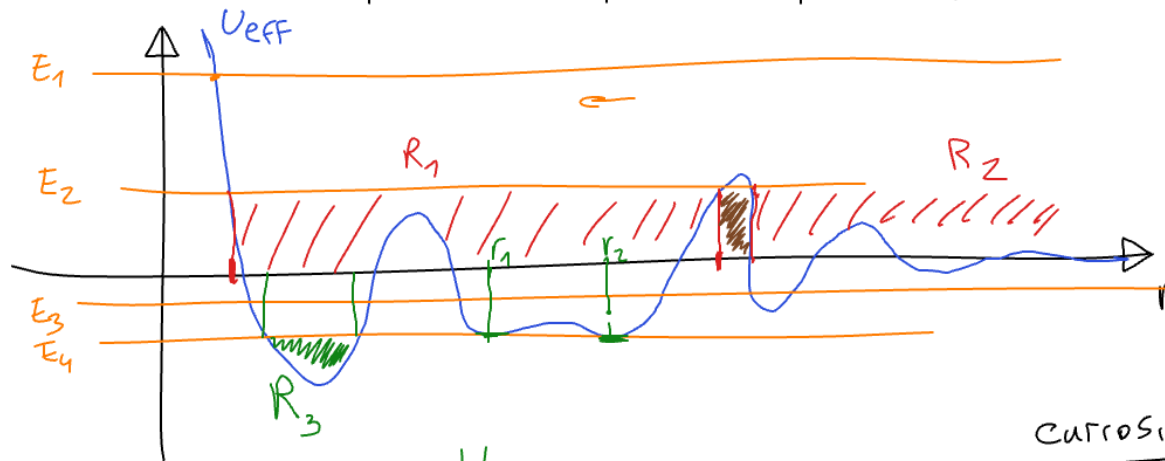
el término  $\frac{l^2}{2\mu r^2} \gg \frac{G\mu M}{r}$  si  $r \rightarrow 0$   
 el término  $\frac{G\mu M}{r} \gg \frac{l^2}{2\mu r^2}$  si  $r \rightarrow \infty$

$$E > \min U_{\text{eff}}$$

$$E > 1$$

- si  $E = E_1 > 0$  trayectoria hiperbólica
- si  $E = E_2 = 0$  trayectoria parabólica
- si  $E = E_3 < 0$  trayectoria elíptica
- si  $E = E_4 = \min U_{\text{eff}}$  trayectoria circular

Este análisis se puede hacer para cualquier tipo de potencial



si  $E = E_1$  mi trayectoria no es acotada  
 si  $E = E_2$  puedo estar o en  $R_1$  o en  $R_2$  dependiendo de las c.i.  
 zona prohibida  
 ( $R_2$  es no acotada)

Si  $E = E_4 \Rightarrow$  tengo 3 posibles comportamientos 2 trayectorias circulares en  $r_1$  o  $r_2$

y una trayectoria acotada en la region  $R_3$

los movimientos circulares corresponden a máximos o mínimos del  $U_{eff}$ .

Los máximos son mov. circ. inestables y los mínimos son mov. circ. estables

curiosidad  
Efecto tunneling

En mecánica cuántica la partícula puede "tunear" de un lado a otro e incluso ser encontrada en la región prohibida!!

## Dispersion (Scattering), sección eficaz, dispersión de esferas duras y dispersión de Rutherford

La sección eficaz es una medida de que un cierto proceso tenga lugar cuando se da un fenómeno de proyectil-objetivo.

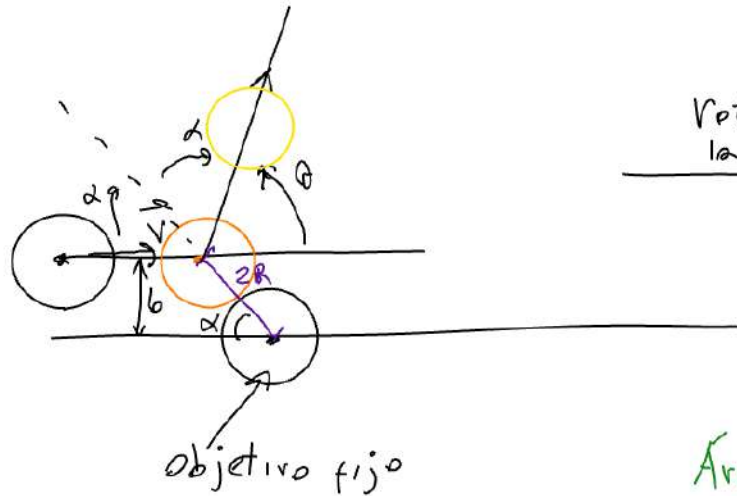
La sección eficaz de Rutherford, que vamos a discutir en breve es una medida de la prob. de que una partícula  $\alpha$  se desvíe un ángulo dado de su tray. hacia un blanco objetivo.

Tipicamente se utiliza  $\sigma$  y tiene unidades de área. Este temático es muy importante para un gran número de ramas de la física (partículas, campos, materia condensada, etc), donde la forma en que se dispersan o interactúan las partículas revela información sobre la teoría, la composición o la estructura de materiales.

## Disp. de esferas duras

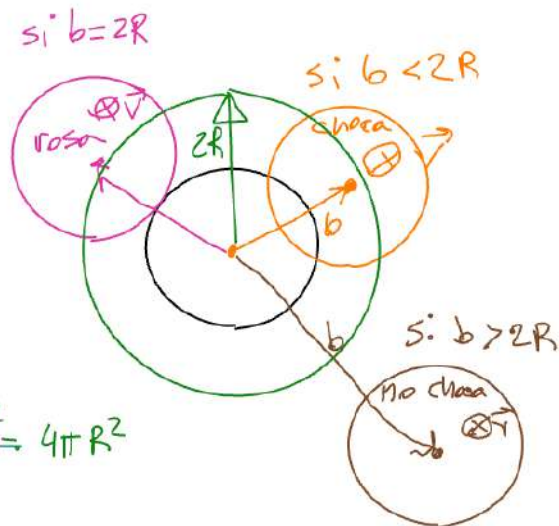
Consideremos el caso en que el objetivo y el proyectil sean esferas de radio  $R$

→ El área que ofrece de impacto el objetivo es  $\sigma = \pi (2R)^2$ .



Rotamos  
la vista

$$\text{Área} = \pi (2R)^2 = 4\pi R^2$$





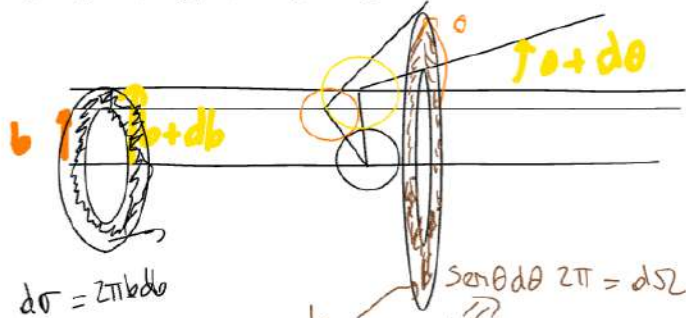
como el ángulo  $\theta$  que se dispersa, depende de  $b$  vamos a definir la sección eficaz diferencial

$$b = 2R \sin(\alpha) \quad \pi = 2\alpha + \theta \Rightarrow \alpha = \frac{\pi - \theta}{2}$$

$$b = 2R \sin\left(\frac{\pi - \theta}{2}\right) = 2R \cos\left(\frac{\theta}{2}\right)$$

Si modifico el parámetro de impacto de  $b$  a  $b + db$

$\theta$  va a variar de  $\theta$  a  $\theta + d\theta$

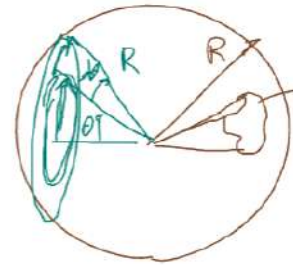


$$d\sigma = 2\pi b db$$

$$ds = (2\pi R \sin\theta) R d\theta$$

sección eficaz dif.

$$\Rightarrow \sigma = \int \frac{d\sigma}{d\Omega} d\Omega = \int R^2 \sin\theta d\theta d\phi = 4\pi R^2$$



$$ds = R^2 d\Omega$$

$$\frac{ds}{4\pi R^2} = \frac{d\Omega}{4\pi}$$

$$\frac{ds}{R^2} = d\Omega$$

$$b + db = 2R \cos\left(\frac{\theta + d\theta}{2}\right)$$

$$\approx 2R \cos\left(\frac{\theta}{2}\right) - R \sin\left(\frac{\theta}{2}\right) d\theta + o(d\theta^2)$$

$$\Rightarrow db \approx -R \sin\left(\frac{\theta}{2}\right) d\theta$$

$$\Rightarrow \frac{d\sigma}{d\Omega} = \left| \frac{2\pi b db}{2\pi \sin\theta d\theta} \right| = \frac{b}{\sin\theta} \left| \frac{db}{d\theta} \right| = \frac{2R \cos(\frac{\theta}{2}) R \sin(\frac{\theta}{2})}{\sin\theta} = R^2$$

Conversión para que sea positivo

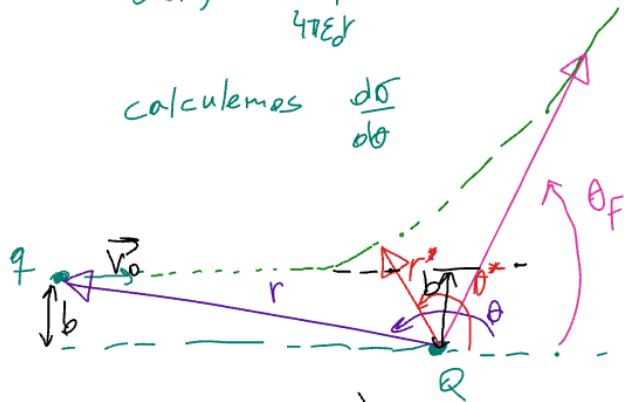
$$\sin\theta = \sin\left(\frac{\theta}{2} + \frac{\theta}{2}\right) = 2 \sin\left(\frac{\theta}{2}\right) \cos\left(\frac{\theta}{2}\right)$$

Ruth 1.1.1

## Rutherford

$$U(r) = \frac{Qq}{4\pi\epsilon_0 r}$$

calculamos  $\frac{d\theta}{db}$



$$r_{\text{inicial}} = \infty$$

$$\theta_{\text{inicial}} = \pi$$

$r^*$  = distancia de mayor acercamiento

$\theta^*$  = ángulo correspondiente a la distancia de mayor acercamiento

Teníamos

$$\theta = \theta_0 \pm \frac{l}{\sqrt{2m}} \int_{\infty}^{r(\theta)} \frac{dr}{r^2 \sqrt{E - U_{\text{eff}}}}$$

luego, al alejarse, va desde  $\theta^*$  y  $r^*$  a  $\theta_f$  y  $\infty$

$\Rightarrow$  Al acercarse  
va de

$(r_{\text{inicial}}, \theta_{\text{inicial}})$

$\downarrow$   
 $(r^*, \theta^*)$

$$\theta^* = \pi + \frac{l}{\sqrt{2m}} \int_{\infty}^{r^*} \frac{dr}{r^2 \sqrt{E - U_{\text{eff}}}}$$

$$\Rightarrow \theta_f = \theta^* - \frac{l}{\sqrt{2m}} \int_{r^*}^{\infty} \frac{dr}{r^2 \sqrt{E - U_{\text{eff}}}}$$

$$\theta_f = \pi - \frac{l}{\sqrt{2m}} \int_{r^*}^{\infty} \frac{dr}{r^2 \sqrt{E - U_{\text{eff}}}}$$

$(r^*, \theta^*)$

✓  $r^*$

$r^* \cdot v^* \cdot \pi^*$

$$\vec{L} = m\vec{r} \times \vec{V} = m r \sin\theta v_0 \hat{n}$$

$$\Rightarrow L = m v_0 b$$

$$E - U_{\text{eff}} = \frac{m v_0^2}{2} \left(1 - \frac{b^2}{r^2}\right) - \frac{Qq}{4\pi\epsilon_0 r} \Rightarrow \frac{d\theta}{db} \text{ es calculable}$$

Sigue siendo cierto, al igual que en esferas duras,

$$\left[ \frac{d\theta}{dr} = \left| \frac{2\pi b db}{\text{seno } 2\pi d\theta} \right| = \frac{b}{\text{seno}} \frac{db}{d\theta} = \left( \frac{Qq}{8\pi\epsilon_0 m v_0^2 \text{sen}^2(\frac{\theta}{2})} \right)^2 \right]$$

$\left(\frac{d\theta}{db}\right)^{-1}$

→ cuentas en doc aparte

$\sigma_{\text{Ruth}} = \infty$   
Interacción de alcance infinito